

板・トラス立体構造の曲げおよびねじれ特性について

北海道大学 正員 渡辺 昇
 北海道大学 正員 佐藤 浩一
 北海道大学 学生員 ○片山 修

1. まえがき

図-1 (a) のような棒のみからなる立体トラスと、図-1 (b) のような板と棒とよりなる立体トラスとについて、曲げ荷重およびねじり荷重を作用し、その構造特性を調べた。

2. 板・トラス立体構造の剛性マトリックスによる解析法

図-1 (a)において、板の部分はシャイベとして扱い、これはシャイベの面内荷重 H_i や H_j のみに抵抗するものとする。骨組の部分はトラス立体構造として扱い、鉛直荷重 P_i や水平荷重 H_i , H_j など任意の節点荷重に抵抗するものとする。シャイベにおける変形および応力解析は三角形要素による有限要素法を用いる。一つの有限要素による剛性マトリックスは式(1)のとおりである。また棒のみからなる立体トラスの剛性マトリックスは式(2)のとおりである。ここで A , L は左点と右点に両端を位置する部材の断面積と長さであり、 μ , ν , λ はそれぞれ全体座標系における部材の X 軸, Y 軸, Z 軸に対する方向余弦である。各節点の

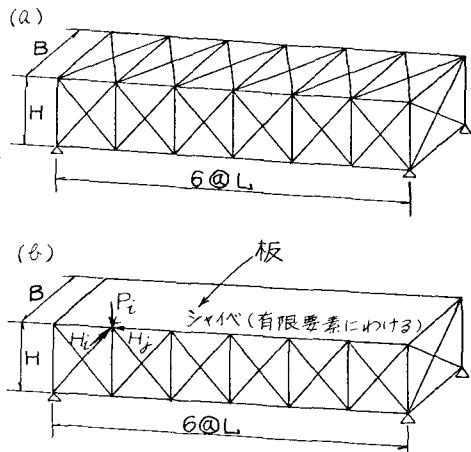


図-1

$$\begin{bmatrix} X_i \\ Y_i \\ X_j \\ Y_j \\ X_k \\ Y_k \end{bmatrix} = f_e \quad \begin{bmatrix} (b_j - b_k)^2 & +\frac{1-\nu}{2}(a_k-a_j)(b_j-b_k) & b_k(b_j-b_k) & \frac{1-\nu}{2}b_k(a_k-a_j) & -b_j(b_j-b_k) & -\frac{1-\nu}{2}b_j(a_n-a_j) \\ +\frac{1-\nu}{2}(a_k-a_j)^2 & +\nu(b_j-b_k)(a_k-a_j) & -\frac{1-\nu}{2}a_k(a_k-a_j) & -\nu a_k(b_j-b_k) & +\frac{1-\nu}{2}a_j(a_k-a_j) & +\nu a_j(b_j-b_k) \\ \frac{1-\nu}{2}(b_j-b_k)^2 & -\frac{1-\nu}{2}a_k(b_j-b_k) & \frac{1-\nu}{2}b_k(b_j-b_k) & \frac{1-\nu}{2}a_j(b_j-b_k) & -\frac{1-\nu}{2}b_j(b_j-b_k) & -\frac{1-\nu}{2}a_j(a_n-a_j) \\ + (a_k-a_j)^2 & +\nu b_k(a_k-a_j) & -a_k(a_n-a_j) & -b_k(a_n-a_j) & +a_j(a_n-a_j) & +a_j(a_n-a_j) \\ b_k^2 + \frac{1-\nu}{2}a_k^2 & -\frac{1-\nu}{2}a_kb_k & -b_kb_j & -\frac{1-\nu}{2}a_kb_j & -\frac{1-\nu}{2}a_kb_j & -\frac{1-\nu}{2}a_kb_j \\ -\frac{1-\nu}{2}a_kb_k & -\frac{1-\nu}{2}a_kb_j & b_j^2 + \frac{1-\nu}{2}a_j^2 & -\frac{1-\nu}{2}a_jb_j & -\frac{1-\nu}{2}a_jb_j & -\frac{1-\nu}{2}a_jb_j \\ -\frac{1-\nu}{2}a_jb_k & -\frac{1-\nu}{2}a_jb_j & -\frac{1-\nu}{2}a_jb_j & -\frac{1-\nu}{2}a_jb_j & -\frac{1-\nu}{2}a_jb_j & -\frac{1-\nu}{2}a_jb_j \end{bmatrix} \begin{bmatrix} u_i \\ v_i \\ u_j \\ v_j \\ u_k \\ v_k \end{bmatrix} \quad (1)$$

右上半分に対称

左端 C 点を原点に取る ($x_i=0$), また $f_e = \frac{F}{2(a_k b_k - a_n b_j)}$

変形と外力との関係は線形であるので図-1 (b) のような板・トラス立体構造の剛性マトリックスは、式(1)と式(2)とを重ね合せたものである。したがって当然のことではあるが接続するトラス部材が全くないシャイベ内の節点における変位については式(1)と式(2)との重ね合せによる全体剛性マトリックスの中に、その面外方向の変位は考えない。

$$\begin{bmatrix} X_i \\ Y_i \\ Z_i \\ X_j \\ Y_j \\ Z_j \end{bmatrix} = \frac{AE}{L} \begin{bmatrix} \lambda^2 \mu \mu \lambda \nu - \lambda^2 \lambda \mu - \lambda \nu \\ \mu^2 \mu \nu - \lambda \mu - \mu^2 \lambda \nu \\ \nu^2 - \lambda \nu - \mu \nu - \nu^2 \\ \lambda^2 \lambda \mu \lambda \nu \\ \mu^2 \mu \nu \\ \nu^2 \end{bmatrix} \begin{bmatrix} u_i \\ v_i \\ w_i \\ u_j \\ v_j \\ w_j \end{bmatrix} \quad (2)$$

SYM.

3. 棒のみからなる立体トラスの構造特性

(1) 構造および支承条件

構造は図-2のようなものを扱う。

支承条件として主構上弦材両端における節点(1), (7), (8), (14)および主構下弦材両端における節点(15), (21), (22), (28)をいずれもヒンジでもって固定してある。

(2) 荷重条件

荷重条件としては、図-3のようく、上弦材上の節点(1)～(7)には下向きの鉛直荷重Pを、同じく節点(8)～(14)には上向きの鉛直荷重Pを載荷させることにより、トラスにねじり荷重を作用させる。ただし次の(3)における「曲げ荷重とねじり荷重による鉛直変位」の場合については、上弦材上の節点(1)～(7)にのみ下向きの鉛直荷重Pを載荷させることにより、曲げ荷重とねじり荷重と同時に作用させる。

(3) 曲げ荷重とねじり荷重による鉛直変位

上弦材A線上に鉛直荷重P=1が移動するときの鉛直変位の影響線は、図-4に示すところである。ここで上弦材A線上の全節点(1)～(7)にP=1の鉛直荷重が作用する時の節点(4)と節点(11)の鉛直たわみはどれだけ

$$v_4 = (2y_2 + 2y_3 + y_4)$$

$$v_{11} = (2y_9 + 2y_{10} + y_{11})$$

となる

それをいま図-5に示すように曲げとしてのたわみv_mとねじりとしてのたわみv_tとに分けて考える。

$$v_{11} - v_4 = [v_m] + [v_t]$$

図-5

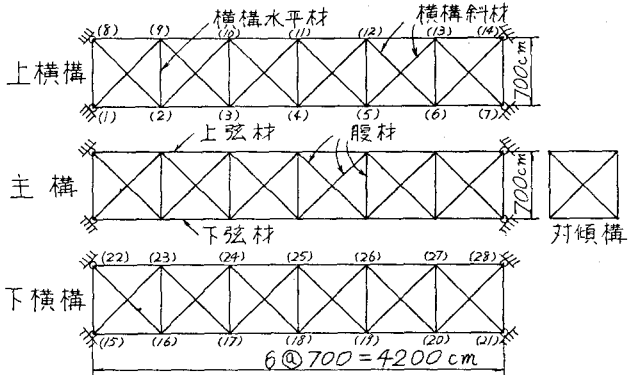


図-2

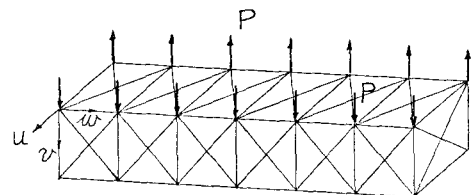


図-3

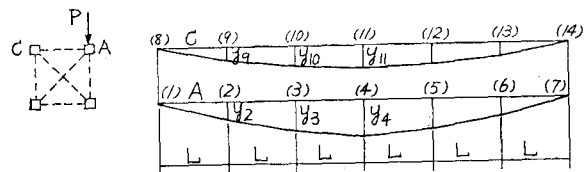


図-4

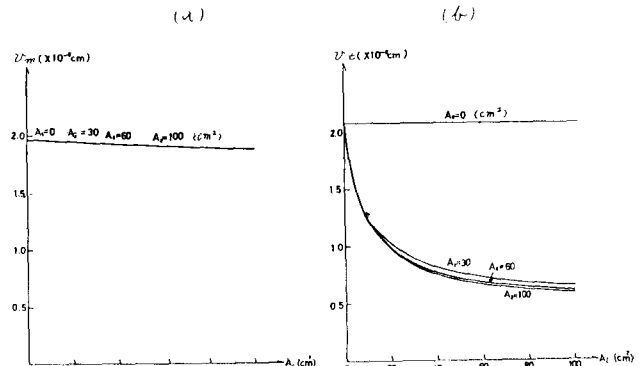


図-5

$$v_m = \frac{v_4 + v_{11}}{2}, \quad v_t = \frac{v_4 - v_{11}}{2} \quad (3)$$

そこでこれらの v_m と v_s をそれぞれ一つのパラメーターとして、これらと上横構部材断面積との関係をグラフにしたもののが、図-6 (a), (b) である。ただしこれらのグラフは $As = 0, 30, 60, 100 \text{ cm}^2$ の4つの場合についてのものである。

また図-6とは逆に、上横構部材断面積を一定にしておくときの、 V_m ならびに V_a と対傾構断面積 A_s との関係をグラフにしたもののが図-7(a), (b)である。ただしこれらのグラフは上横構断面積 $A_e = 0$,

30 , 60 , 100 cm^2 についてのものである。荷重は節点(1)～(7)にのみ $P=1$ の鉛直荷重をかけてある。

(4) そり変位について

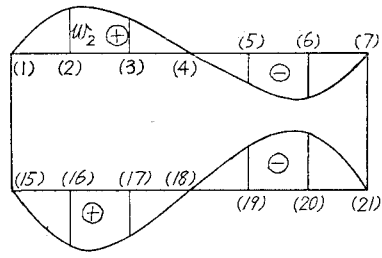
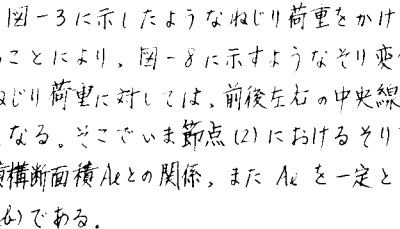


図-8



(5)ねじれ角 γ とずれ角 θ について

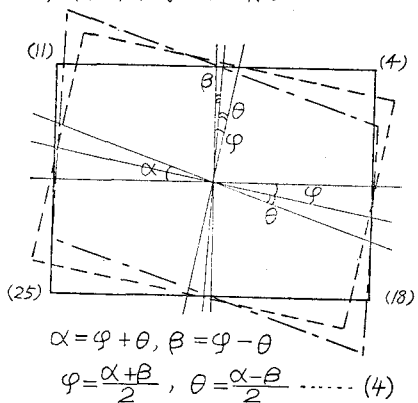


图 - 10

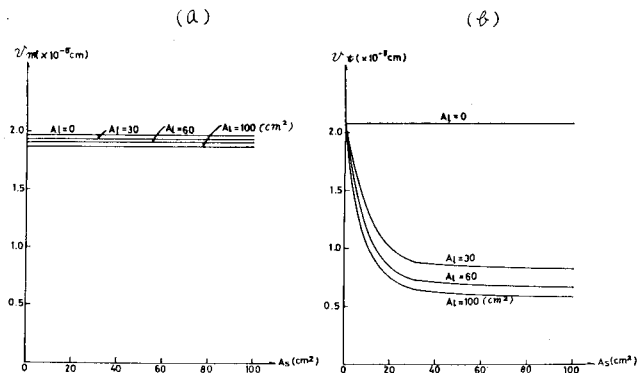


图-7

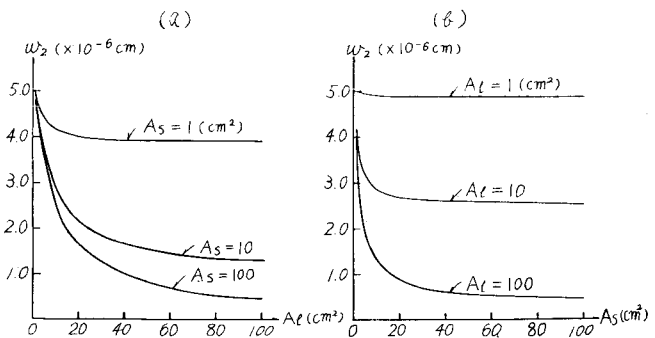
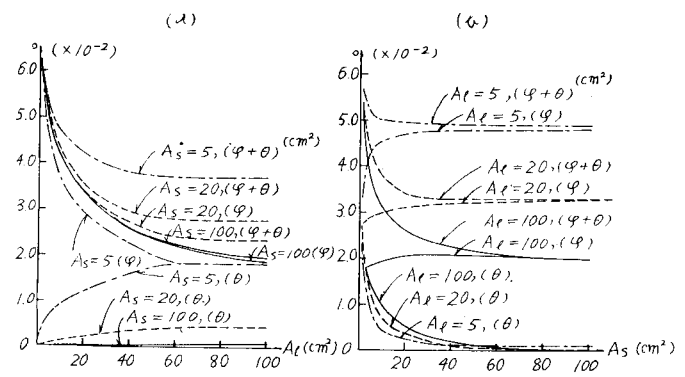


圖-9



四

図-3に示したねじり荷重をかけることにより、立体トラス構造の横断面内では、図-10に示したようなねじれを生ずる。このねじれはさらに、図-10に示すようにねじれ角 ϕ とずれ角 θ とに分けて考えることができる。そして近似的には式(4)がいまの場合に当てはまるものとする。そこで対傾構断面積を一定としたときの、
横構断面積 Ae と $(\phi+\theta)$ 、 ϕ 、 θ との関係を、また Ae を一定としたときの As と $(\phi+\theta)$ 、 ϕ 、 θ との
関係をグラフにしたもののが、それぞれ図-11(a), (b)である。ただしこの場合の等節点鉛直荷重は $P=10000$
 Kg であり、またこのグラフをかくのに用いた立体トラスの横断面は、図-10に示したように節点(1), (18)
(25), (11)によって構成されている支間中央断面である。

4. 板・トラス橋の構造特性

(1) 構造および支承条件

構造についこは図-1(a)の立体トラス橋のモデルにおける上弦材、上横構水平材、上横構斜材を面内力のみに抵抗するシャイべでおきかえたものを用いる。他の部材については断面積、長さを等しくおき、構造に関する寸法も図-1(a)の場合と全く等しくしてある。

支承条件についても図-3のモデルの場合と全く同じである。

(2) 荷重条件

荷重条件および変位 u_i , u_j , w のとり方は図-3の場合と同じである。

(3) 曲げ荷重とねじり荷重による鉛直変位

考え方は2. (3)と同じであり、 v_m と v_t についてもそのまま適用する。

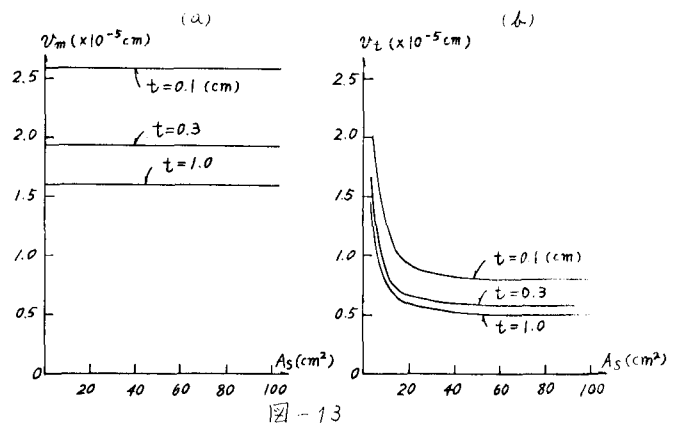
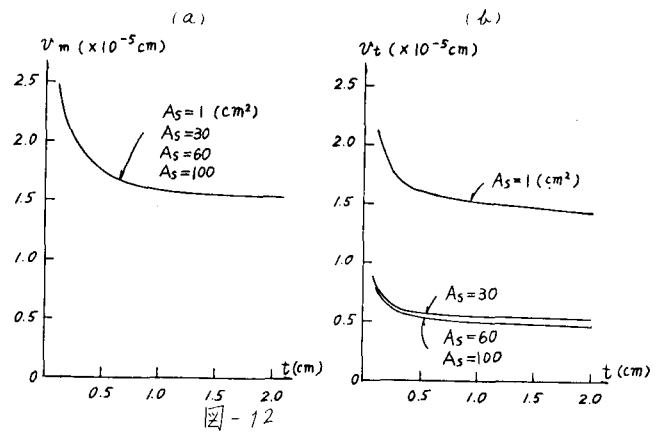
対傾構断面積を一定にしたときの曲げに関するたわみ v_m と、上横構部材と置換したシャイべの板厚 t との関係、またねじりに関するたわみ v_t と t との関係をそれぞれグラフにしたもののが図-12
(a), (b)である。

次に板厚 t を一定にしたときの対傾構断面積 As と v_m との関係、また As と v_t との関係をそれぞれグラフにしたもののが図-13(a), (b)である。

ただしこの場合においては、3. (3)と同じように、ねじり荷重ではなく、上弦材上の節点(1)へ(7)にのみ $P=1$ の鉛直荷重を作用させる。

(4) そり変位について

図-4に示したねじり荷重を作用させることにより、板・トラス立体構造においてもやはり図-8に示したようなそり変位を生ずる。そこで3. (4)の場合と同じように節点(2)におけるそり変位 w_2 に着目して、対傾構断面積 As を一定としたときの w_2 とシャイべの板厚 t との関係、また板厚 t を一定としたときの As と w_2 と



の関係をそれぞれグラフにしたもののが図-14 (a), (b)である。

(5)ねじり角 ϑ とずれ角 θ について
図-3に示したねじり荷重をかけることにより、この板・トラス立体構造の横断面内でも、やはり図-10に示したようなねじり角 ϑ とずれ角 θ を生ずる。そしてやはり近似的には式(4)がこの場合にも当てはまるものとして、図-10に示してあるようにしてねじり角 ϑ とずれ角 θ とを算定する。

そして対傾構断面積 A_s を一定としておいたときのシャイべの板厚 t と ϑ , θ , $(\vartheta+\theta)$ との関係を、また板厚 t を一定としておいたときの ϑ , θ , $(\vartheta+\theta)$ との関係を、それ respective グラフにしたもののが図-15 (a), (b)である。ただしこの場合に用いた板・トラス立体構造の横断面も節点(1), (13), (24), (11)より成る支間中央断面である。また作用している等節点鉛直荷重は2. (5)と同じく $P = 10000 \text{ N}$ である。

5. 橋構の換算板厚

同一の載荷状態において、図-1(a)の変形と図-1(b)の変形とをくらべた結果、もしも両者の変形が等しかつたとすれば、図-1(a)の上横構は図-1(b)のシャイべに置換されたものと考えることができる。このときのシャイべの板厚 t を横構の換算板厚と呼ぶことにする。当然ながら、上横構断面積 A_t が大きくなれば、換算板厚 t も大きくなろう。いまの場合変形としては、曲げ荷重による鉛直たわみ v_m 、ねじり荷重による鉛直たわみ v_θ 、ねじり荷重による ϑ , θ , $(\vartheta+\theta)$ などがあり、それそれに応じて換算板厚が求まり

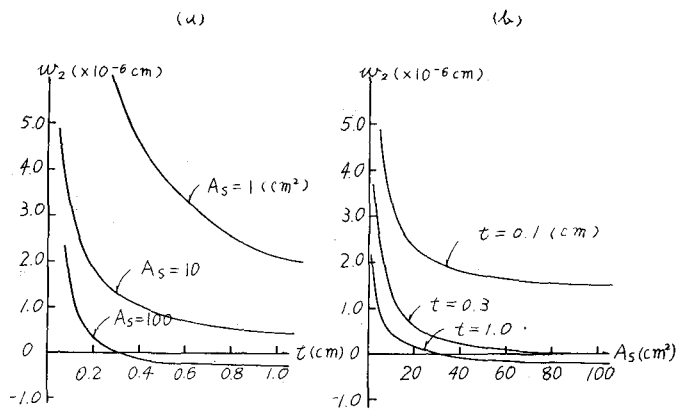


図-14

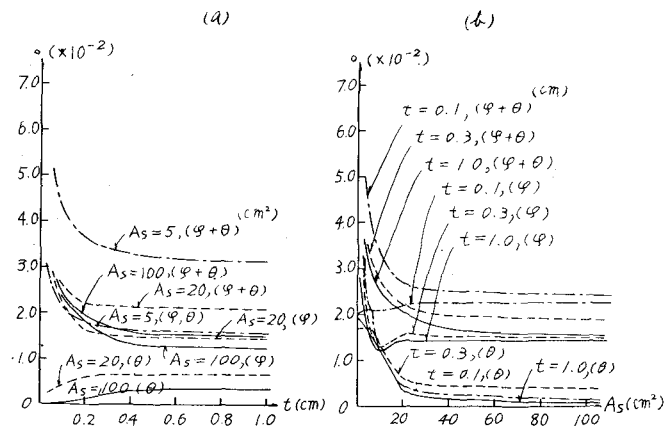


図-15

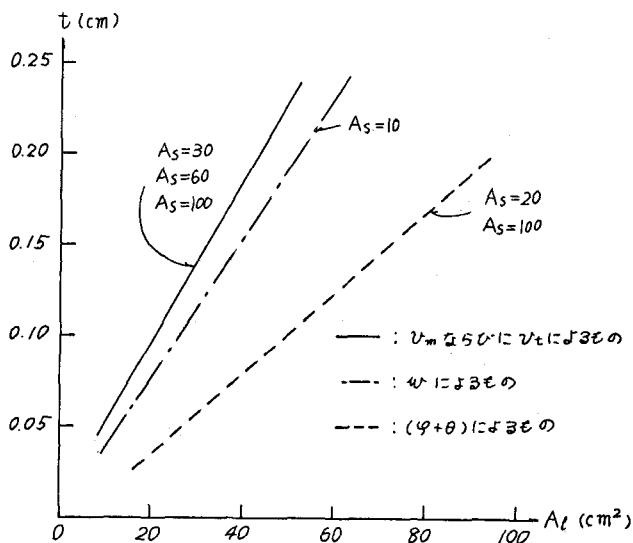


図-16

その結果を示すと図-16 のとおりである。

6. 考察とあとがき

図-1(a) および図-1(b) のような立体トラスにおいて 図-3 のような支承条件の場合、曲げ荷重およびねじり荷重を載荷したときの構造特性は次のとおりである。

(i) 図-5 のように、上弦材の片側のみに鉛直荷重を載荷したときの鉛直変位は、曲げとねじりが合成されたものであるが、式(3)を用いれば、曲げ荷重のみによる鉛直変位 v_m とねじり荷重のみによる鉛直変位 v_x とに分離できる。

(ii) 横構断面積 A_e を増加すると v_m は減少する。

(iii) 対称構断面積 A_s を増加すると v_x は急激に減少し、この場合 $A_s = 40 \text{ cm}^2$ 位以上になると A_s をいくら大きくしても v_x はほとんど一定値となる。

(iv) 図-4 のようなねじり荷重を載荷したとき、 A_s および A_e を増加すると ψ 変位 w は急激に減少し、この場合 $A_e = 60 \text{ cm}^2$ 位以上、 $A_s = 40 \text{ cm}^2$ 位以上になると A_e および A_s をいくら大きくしても w はほとんど一定値となる。

(v) 図-4 のようなねじり荷重を載荷したとき、ねじり角を ψ 、ずれ角を θ とすると、 A_s を増加すると、 $(\psi + \theta)$ は急激に減少し、この場合 $A_s = 40 \text{ cm}^2$ 位以上になると A_s をいくら大きくしても $(\psi + \theta)$ はほとんど一定値となる。

なお、 A_s の増加は θ の減少に特に役立つ。

(vi) 図-4 のようなねじり荷重を載荷したとき、 A_e を増加すると $(\psi + \theta)$ は急激に減少し、この場合 $A_e = 60 \text{ cm}^2$ 位以上になると A_e をいくら大きくしても $(\psi + \theta)$ はほとんど一定値となる。

なお、 A_e の増加は ψ の減少に特に役立つ。

(vii) 横構換算板厚さと A_e との関係図は図-17 のとおりであった。

なお計算は北海道大学大型電子計算機センター FACOM 230-60 によった。